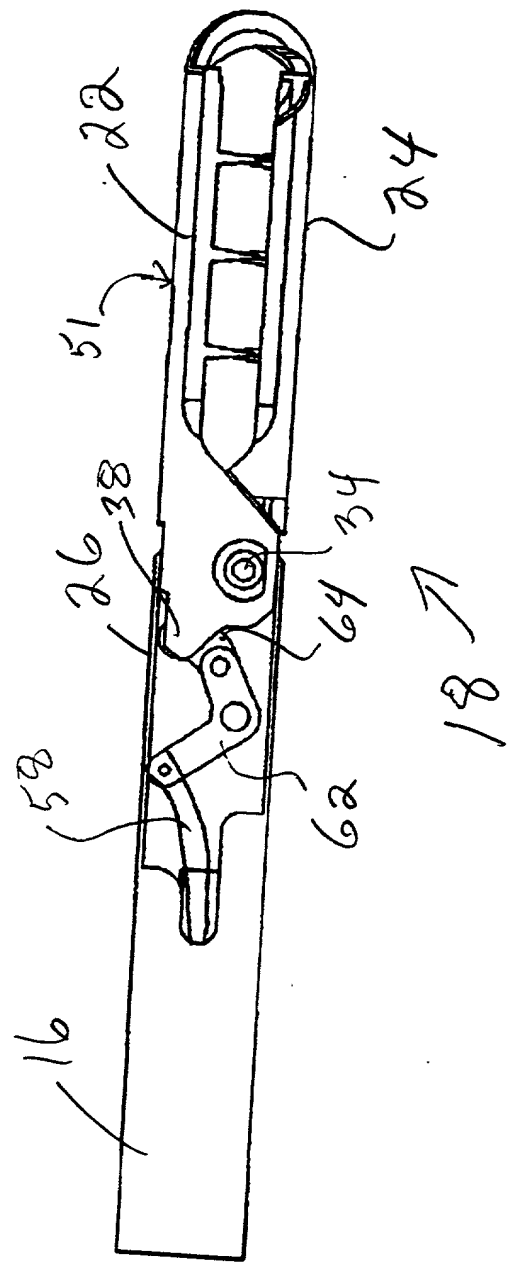


FIG. 1



F 16, 2

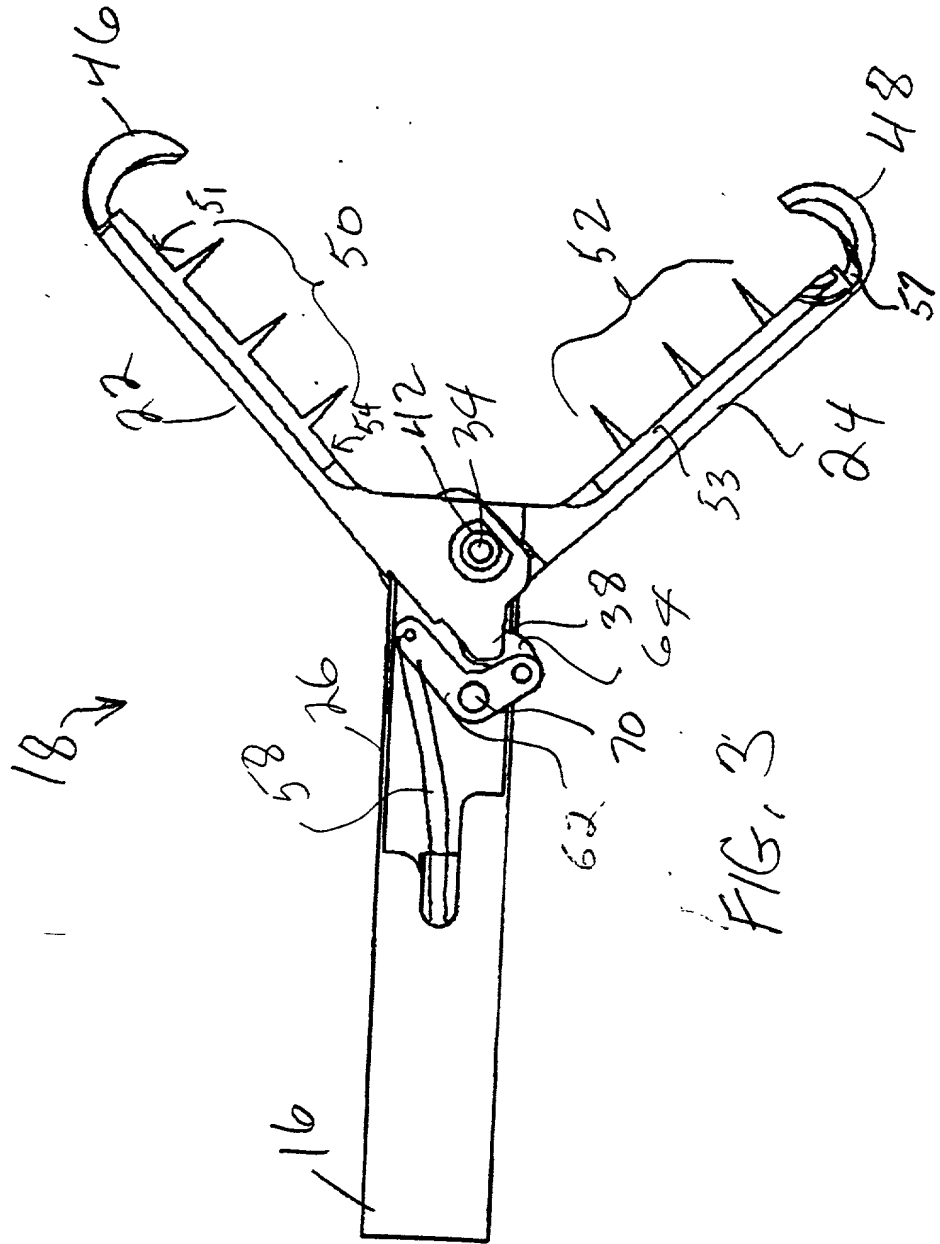
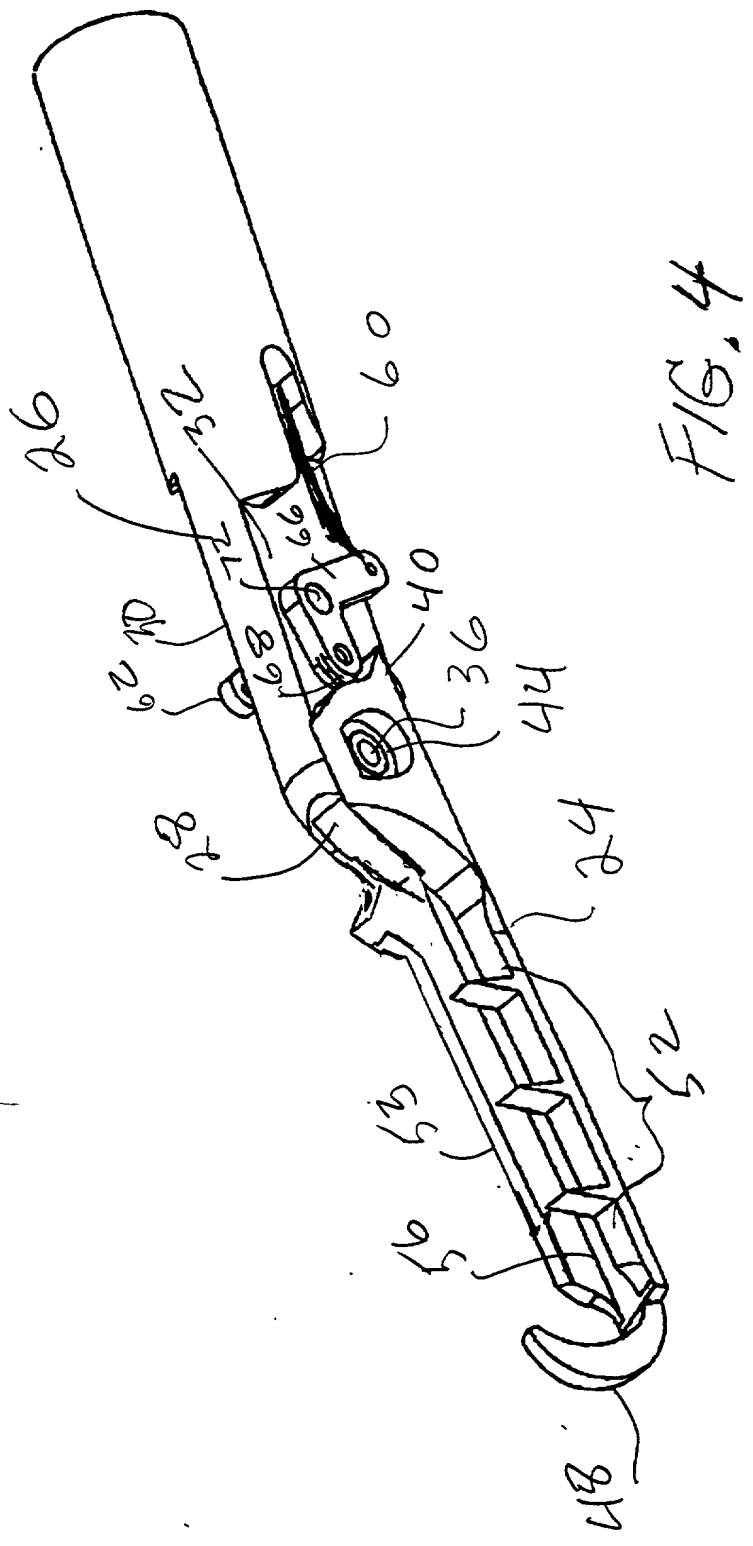
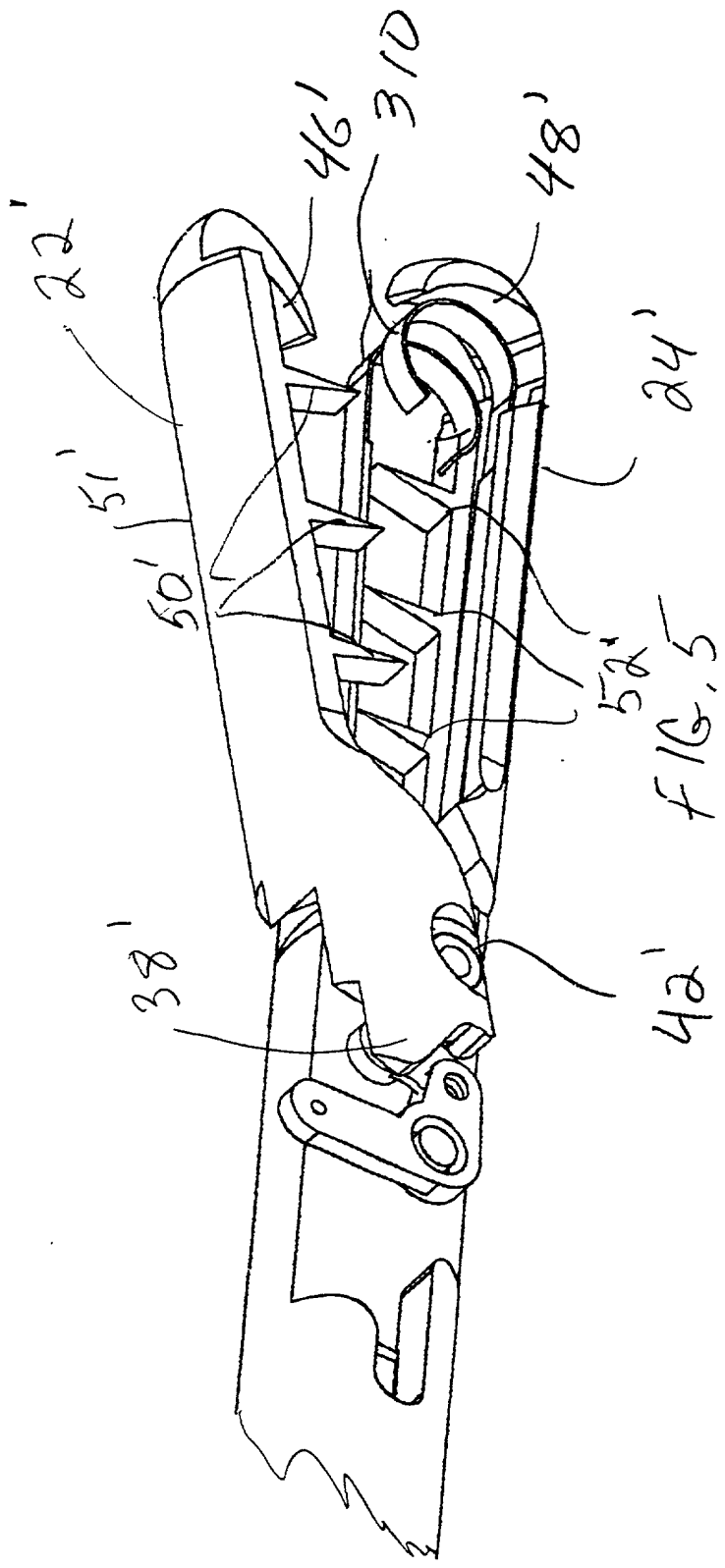
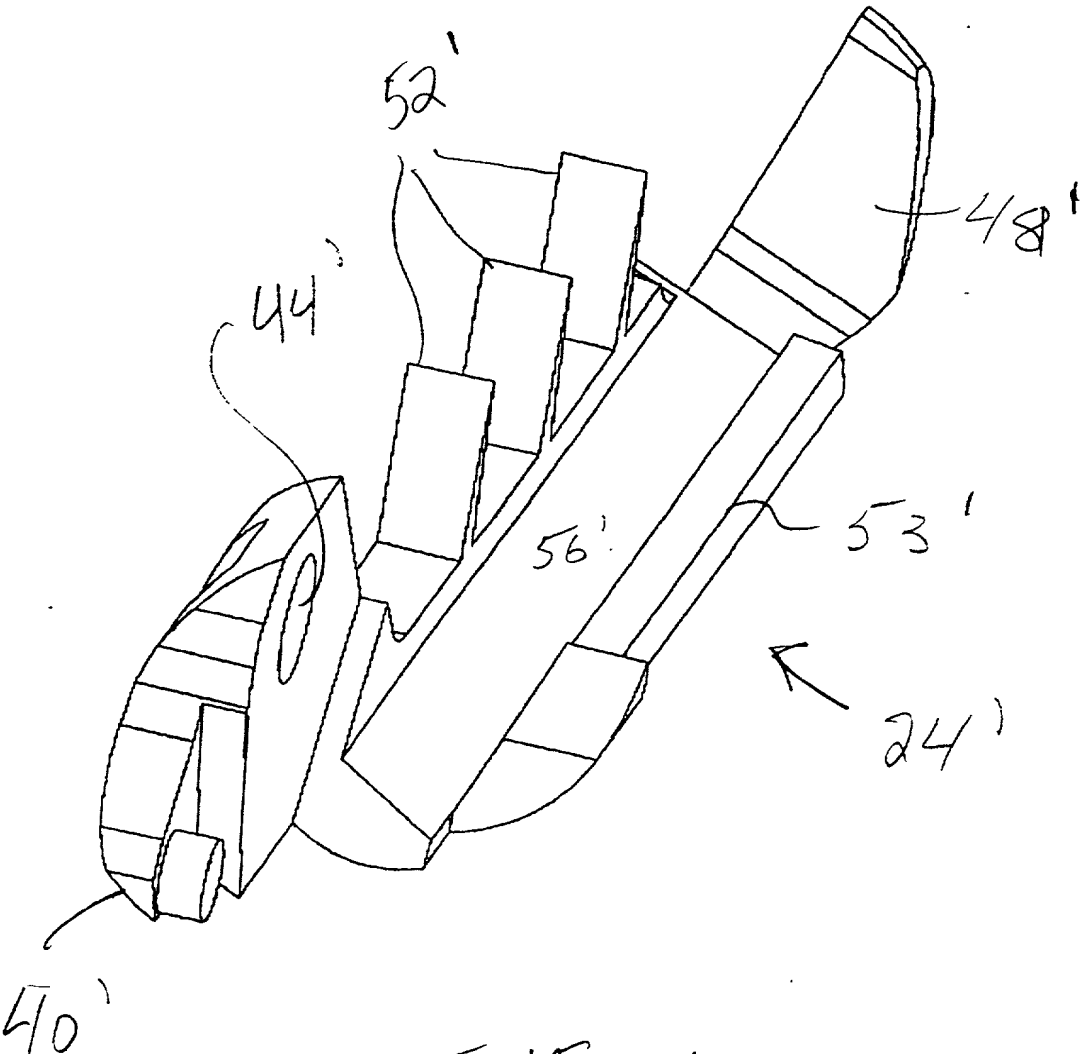
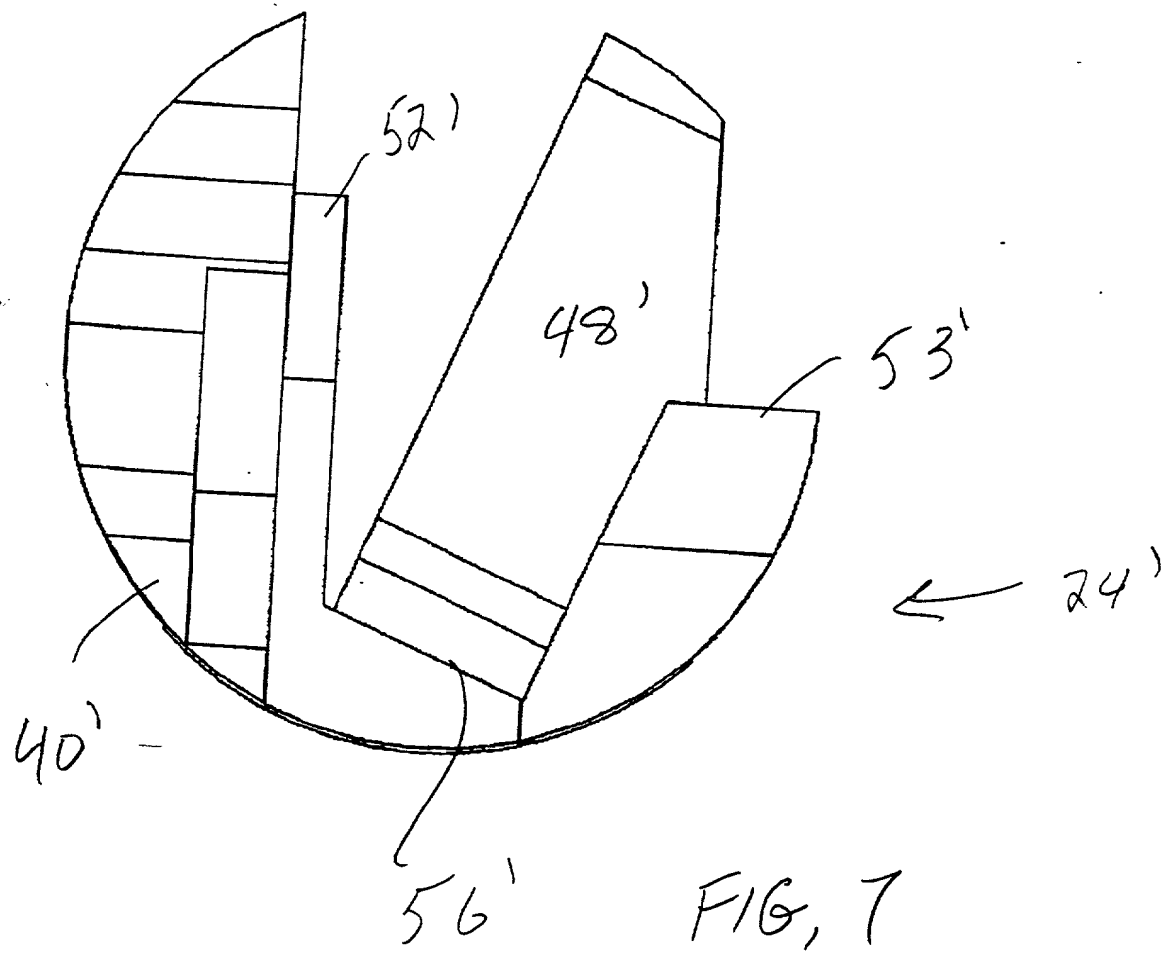


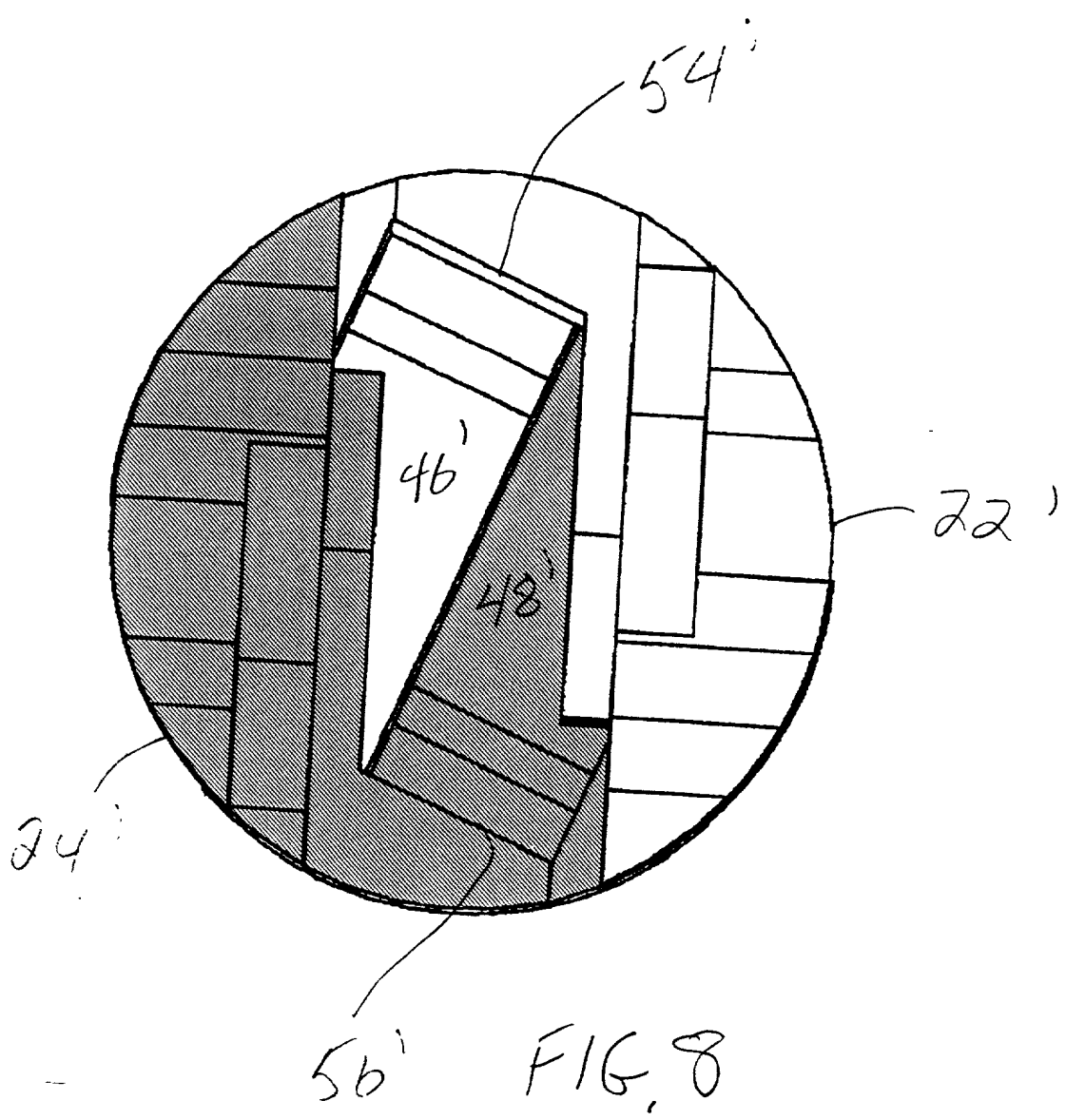
FIG. 3











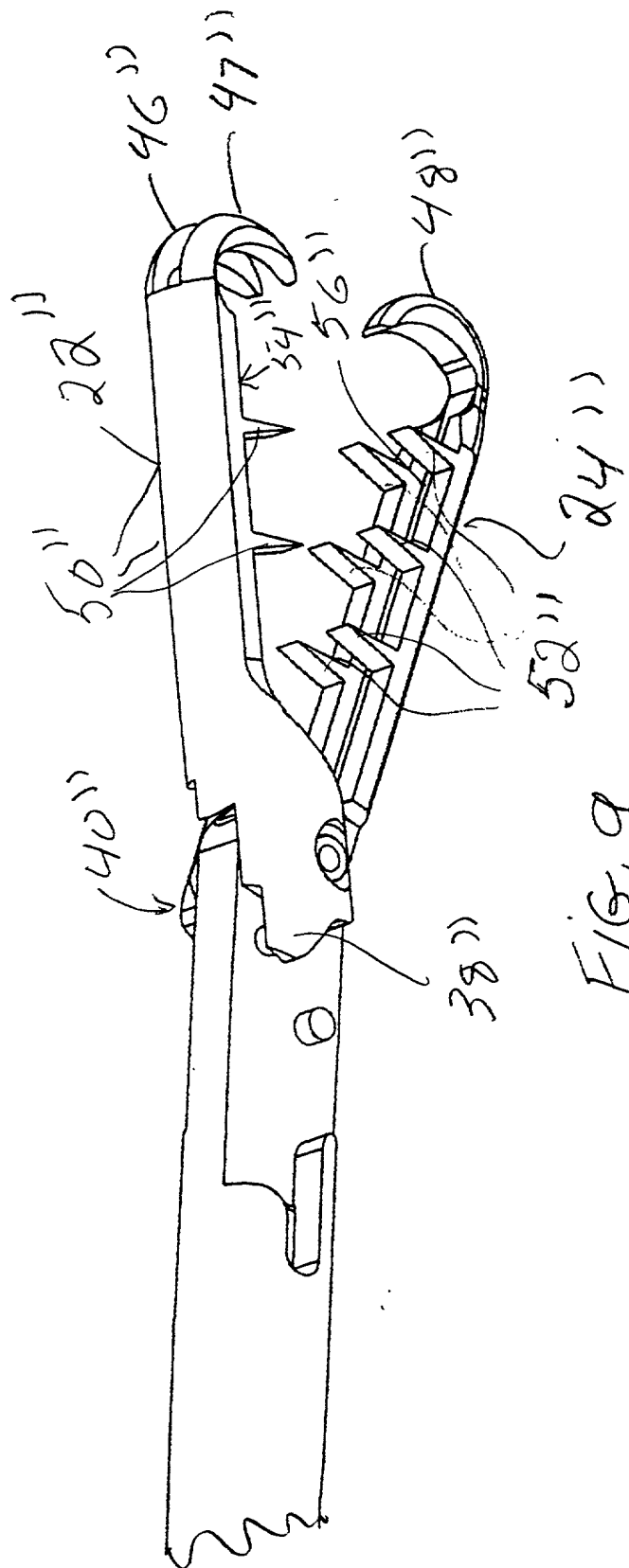


Fig. 9

FIG. 10

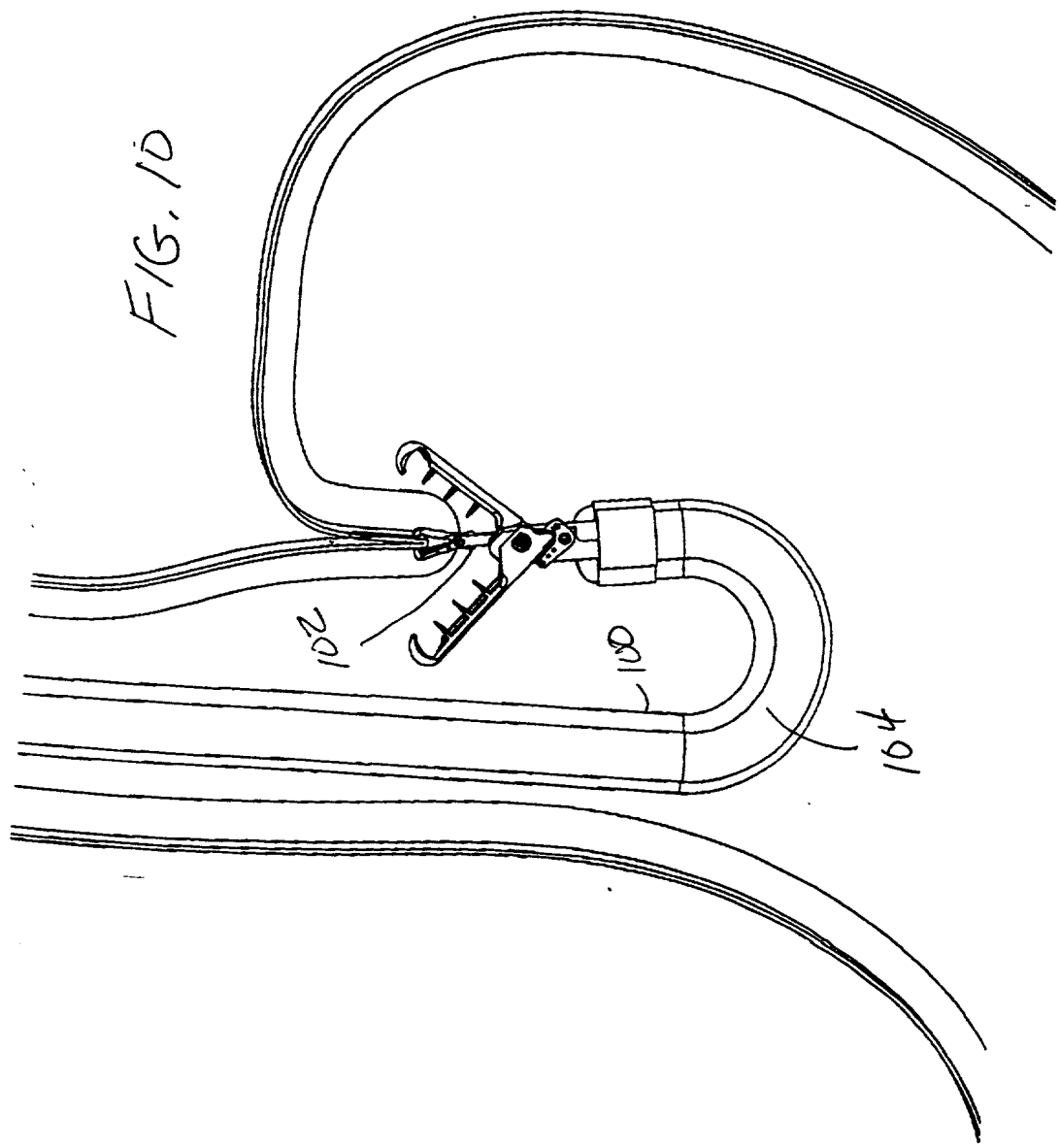


FIG. 11

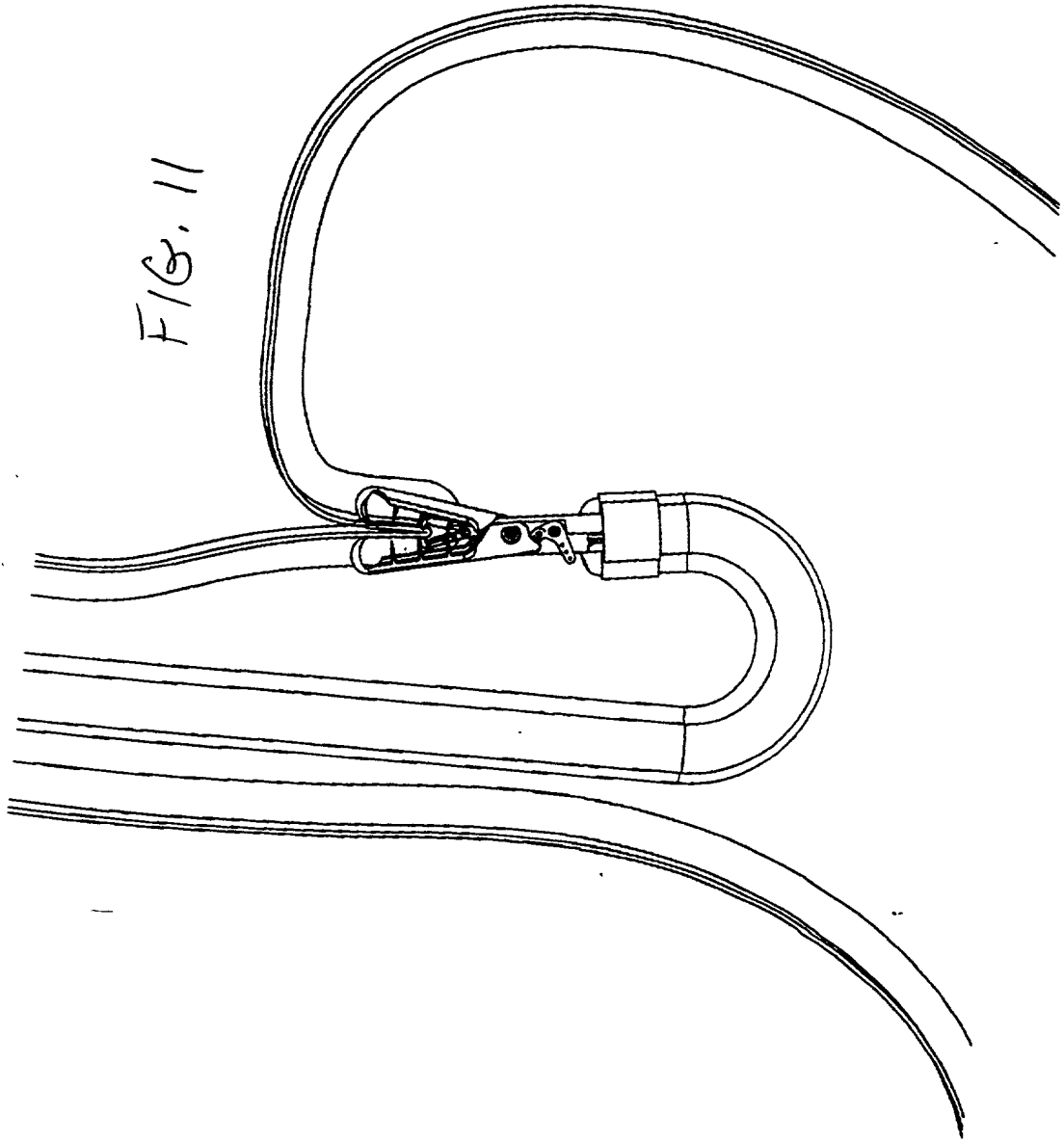
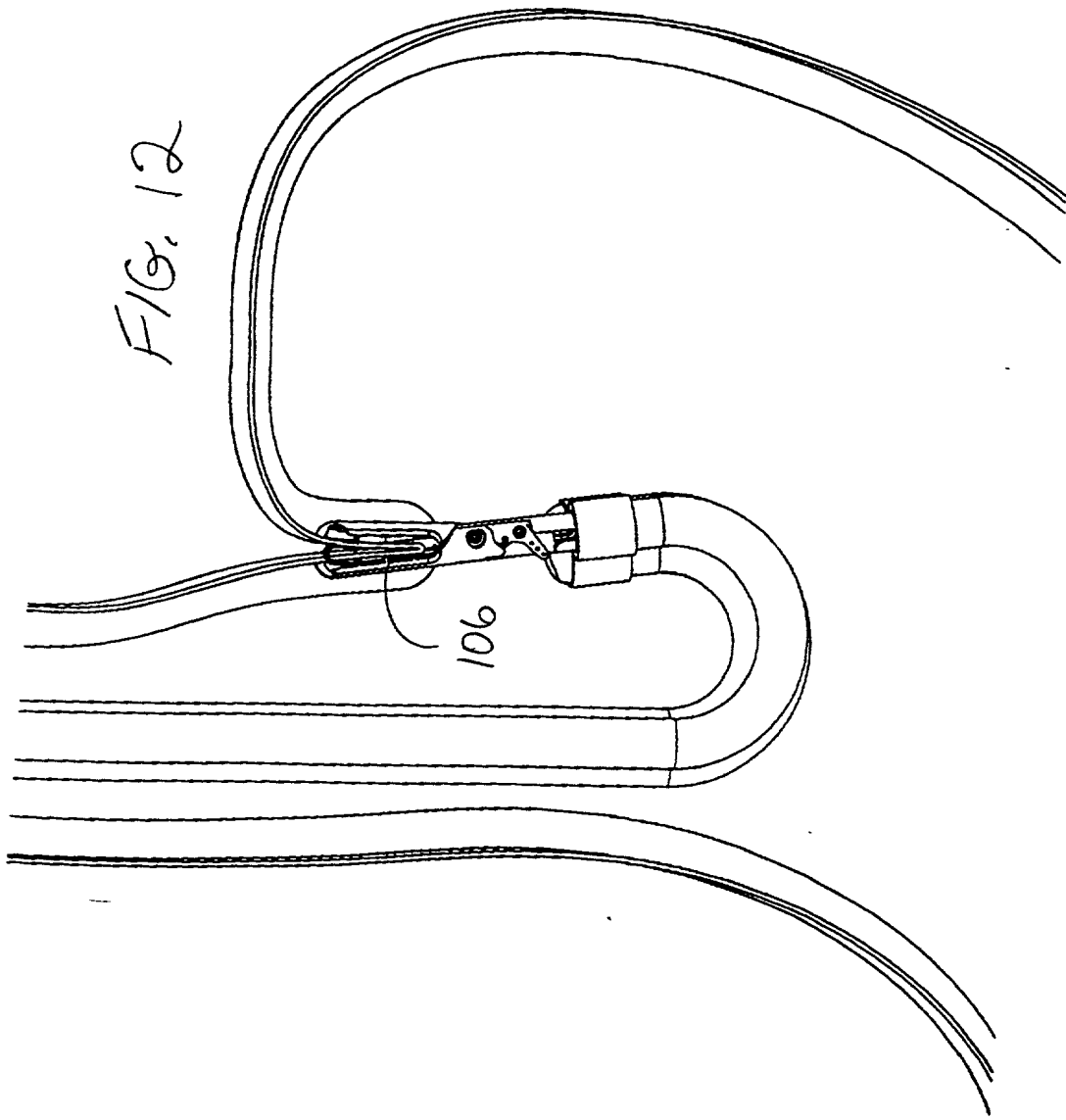


FIG. 12



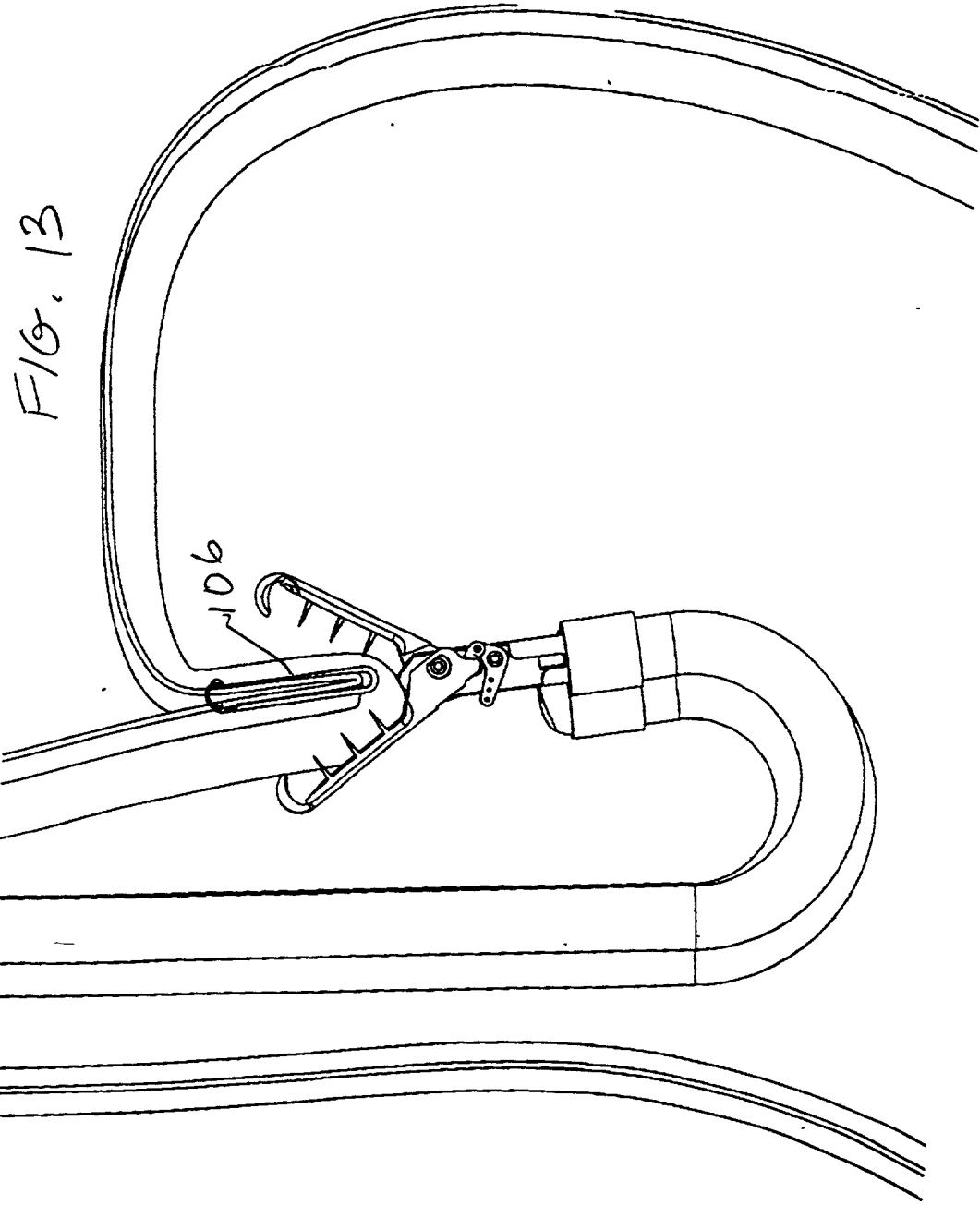
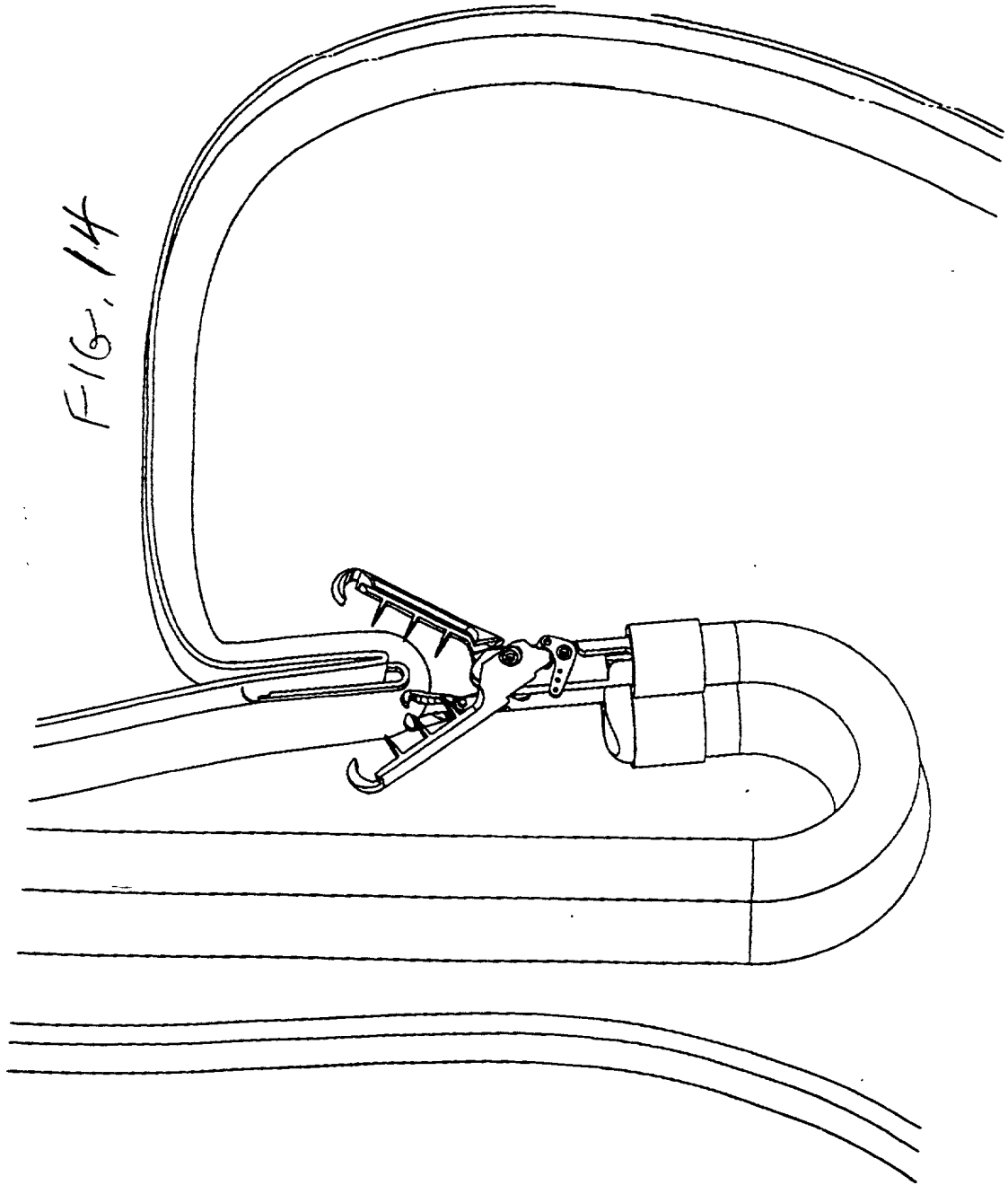


Fig. 14



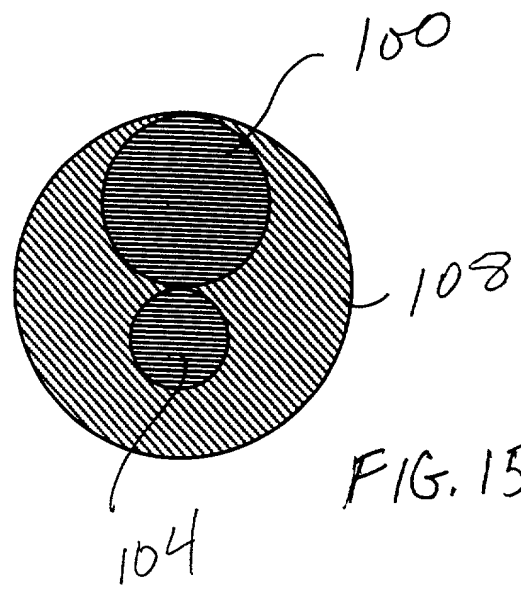


FIG. 15

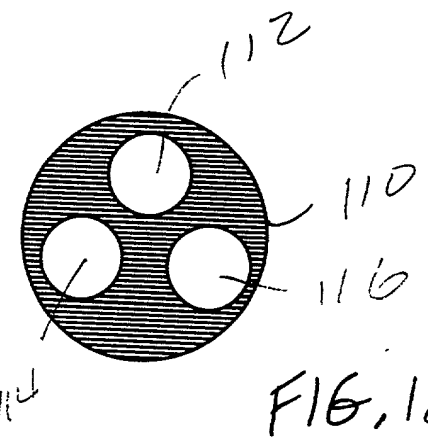
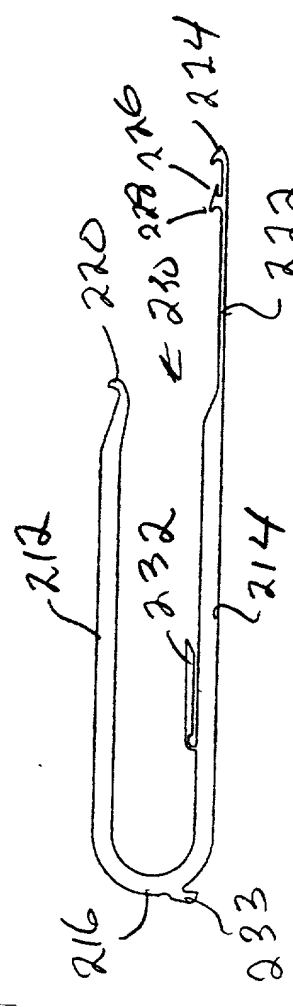


FIG. 16



210 → FIG. 17

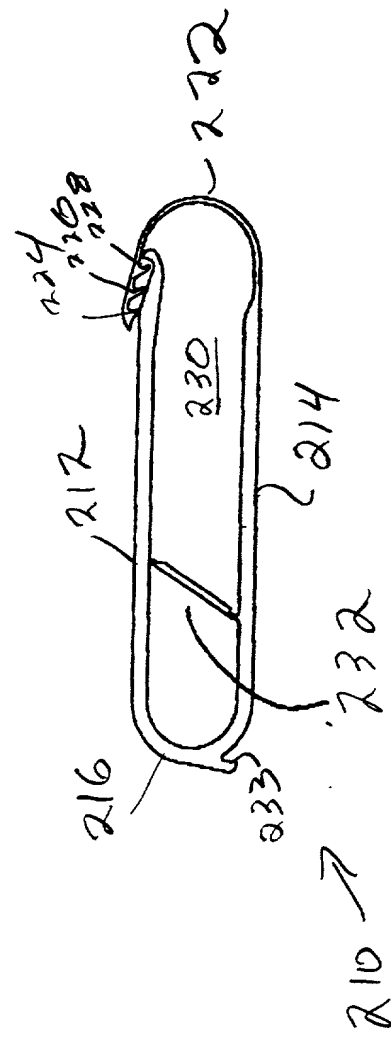


FIG. 18

310 γ

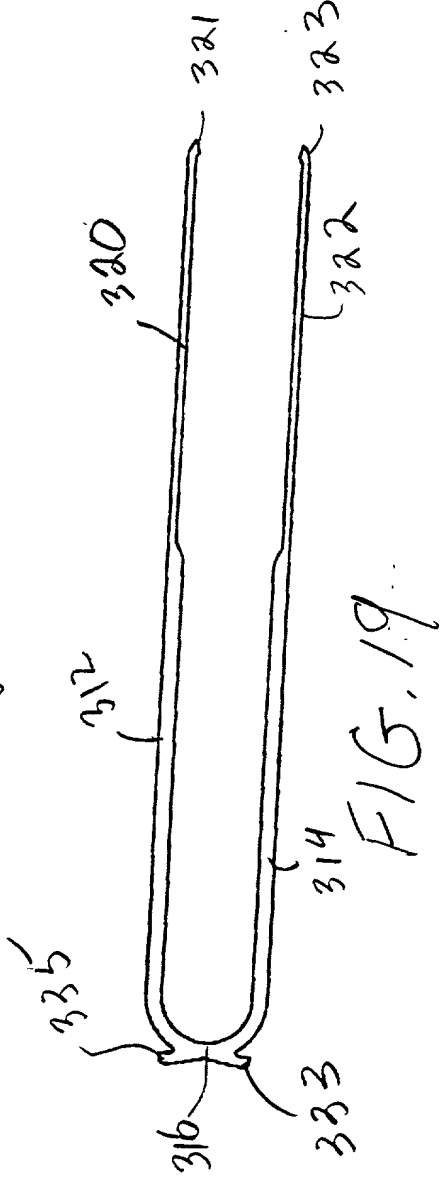


FIG. 19.

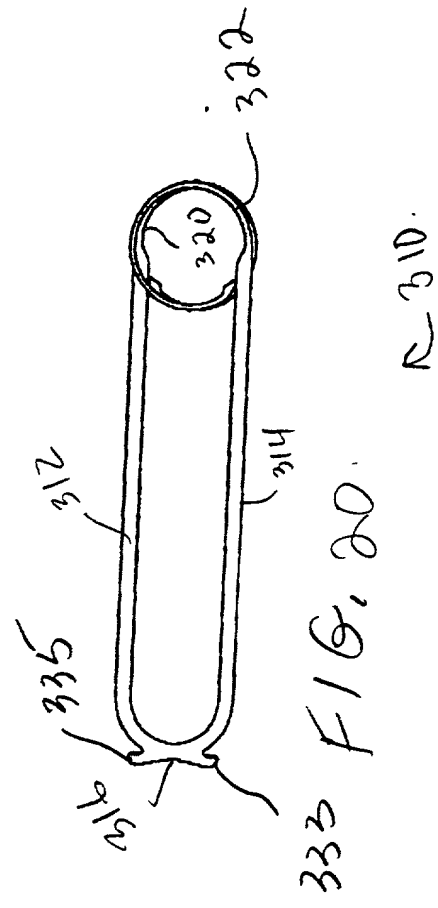
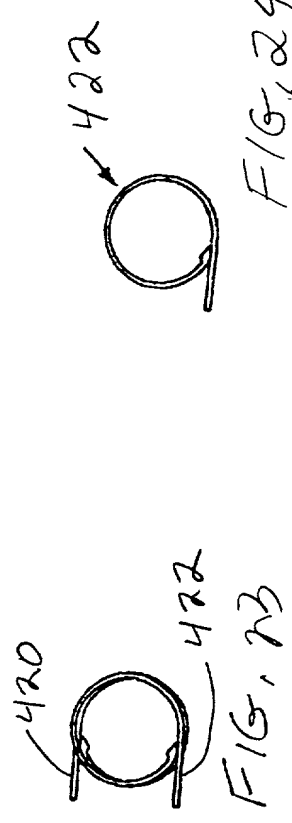
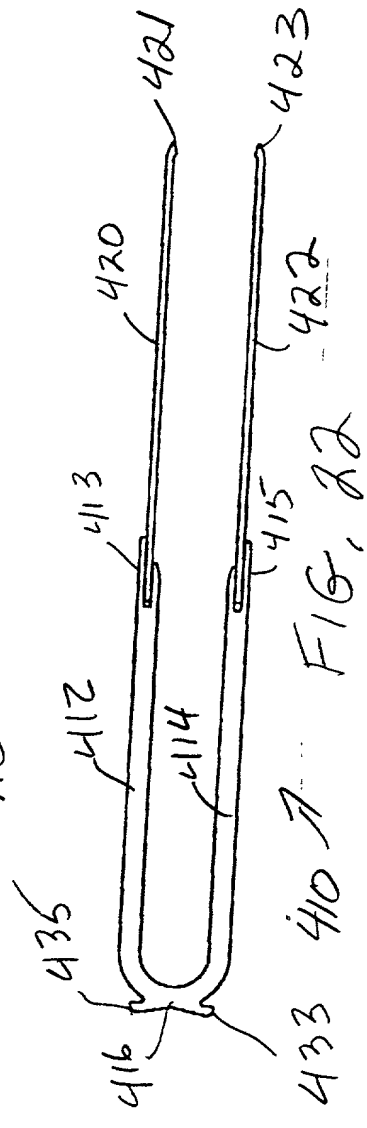
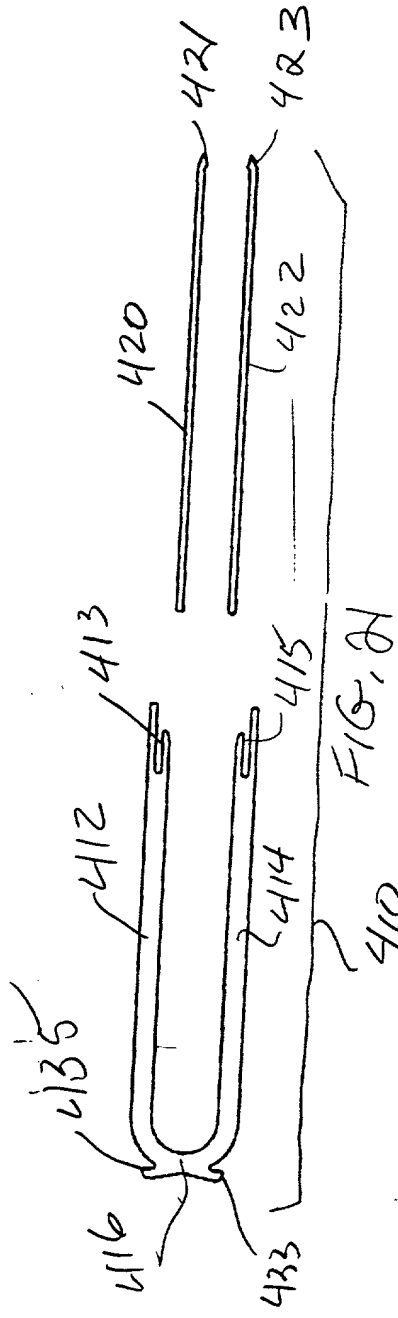


FIG. 20.

Fig.

116 412 413
433 414 415



F16, 413